

بررسی موجک‌های متعامد در تشخیص خرابی برج توربین بادی با اندرکنش خاک-سازه*

مقاله پژوهشی

محسن مهر مطلق^(۱) آرش بهار^(۲) امید بهار^(۳)

چکیده انرژی باد از مهم‌ترین انرژی‌های تجدیدپذیر بوده که دارای روند رو به رشد نیز است. برج توربین بادی، نگه‌دارنده کل مجموعه است و خرابی آن منجر به فاجعه‌ی کامل می‌گردد. با اینکه خرابی برج می‌تواند کل توربین بادی را به خطر اندازد و سبب خرابی و سبب گردد ولی تحقیقات در این بخش از توربین نسبت به تأسیسات مکانیکال توربین بادی، ناچیز است. در این تحقیق، تحلیل گسترده‌ی عددی به منظور تشخیص خرابی در برج توربین بادی توسط تجزیه‌ی موجک دوبعدی چند سطحه با استفاده از موجک‌های متعامد و اندرکنش خاک-سازه، انجام گردیده است. مدل المان محدود تهیه شده، با توربین بادی ساحلی مبنای پنج مگاواتی آزمایشگاه ملی انرژی تجدیدپذیر وزارت نیروی آمریکا، صحت سنجی شد. در ادامه ضمن تعریف چندین سناریوی خرابی، شکل‌های مودی سه‌بعدی مدل المان محدود سازه‌ی آسیب‌دیده، استفاده از روش پید شنهادی، مورد بررسی قرار گرفتند. نتایج حاکی از تأثیر مثبت اندرکنش خاک-سازه بر افزایش کیفیت تشخیص خرابی سازه‌ی آسیب‌دیده، است.

واژه‌های کلیدی برج توربین بادی، تشخیص خرابی، اندرکنش خاک-سازه، پردازش سیگنال، موجک متعامد.

Investigation of Orthogonal Wavelets in the Damage Detection of the Wind Turbine Tower with Soil-Structure Interaction

M. Mehr Motlagh A. Bahar O. Bahar

Abstract Wind energy is one of the most hopeful renewable energy sources that is also growing. The wind turbine tower supports the complete wind turbine system, and its damage may cause catastrophic failure of the wind turbine. However, the background to the study of the health monitoring of the wind turbine tower against its mechanical installations is insignificant. Besides, no comprehensive research has been conducted on the health monitoring of the tower with soil-structure interaction included. In this article, the extensive analysis of the multilevel 2D wavelet decomposition approach using orthogonal wavelets and soil-structure interaction is performed numerically. The established finite element model is calibrated and verified with the NREL 5-MW reference onshore wind turbine. Then, while defining several damage scenarios, the 3-dimensional modes of the finite element model of the damaged structure were investigated using the proposed method. The findings imply that the quality of the damage detection in the soil-structure interaction models has increased, generally.

Key Word Wind Turbine Tower, Damage Detection, Soil-Structure Interaction, Signal Processing, Orthogonal Wavelets.

* تاریخ دریافت مقاله ۱۳۹۸/۹/۲۶ و تاریخ پذیرش آن ۱۴۰۰/۲/۸ می‌باشد.

(۱) گروه مهندسی عمران، واحد قزوین، دانشگاه آزاد اسلامی، قزوین.

(۲) نویسنده‌ی مسئول، استادیار، دانشکده‌ی فنی-مهندسی دانشگاه گیلان، رشت.

(۳) استادیار، پژوهشکده‌ی سازه، پژوهشگاه بین‌المللی زلزله‌شناسی و مهندسی زلزله، تهران.

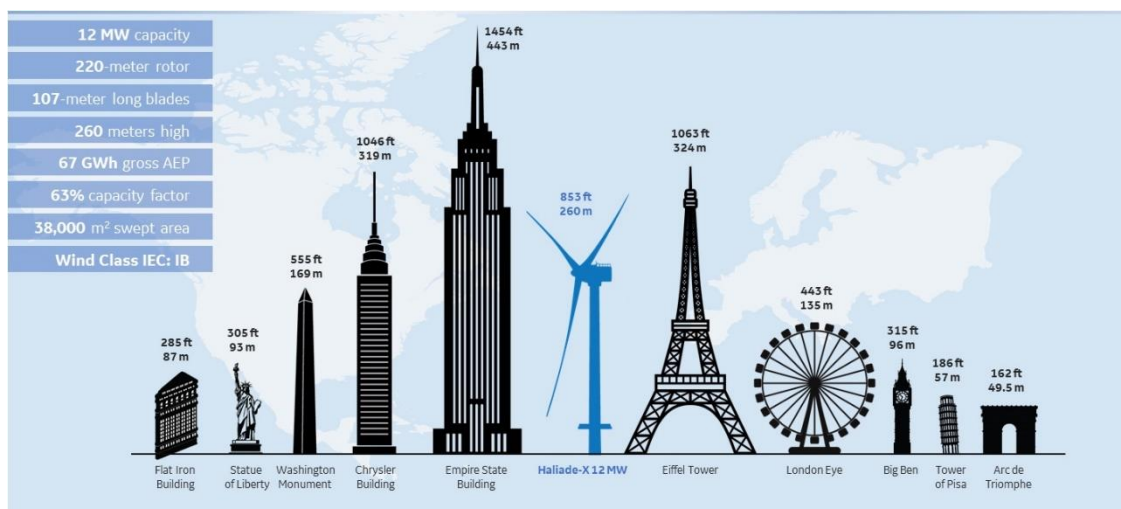
مقدمه

افزایش است [3]، به طوری که شرکت GE در حال برنامه‌ریزی برای نصب آزمایشی بزرگ‌ترین توربین بادی فراساحلی دوازده‌مگاواتی به ارتفاع ۲۶۰ متر و در آب‌های مشرف به بندر رتردام در سال ۲۰۱۹ است [4] (شکل ۱). البته تحقیقات نشان می‌دهند که توربین‌های عظیم‌تر به مراتب بیشتر خراب می‌شوند و نیازمند نگهداری بیشتری هستند [5]. مطابق مطالعات مرجع [6] برج توربین بادی ساحلی جایگاه دوم را در کل هزینه‌ی توربین بادی دارد و این در حالی است که کل مجموعه‌ی توربین بادی نیز توسط این قسمت نگهداری می‌گردد و خرابی آن، باعث آسیب فاجعه‌بار برای کل توربین می‌شود. تمامی این مسائل، سبب شده‌است که صاحبان مزارع توربین بادی دریابند که تشخیص خرابی، نقش مؤثری در بهره‌برداری ایمن و پیوسته از توربین‌های بادی ایفا می‌کند.

تشخیص خرابی سازه‌ی برج توربین بادی، پیشینه‌ی مطالعاتی بسیار کمتری نسبت به پره‌ی توربین و تأسیسات مکانیکال آن دارد. هم‌چنین در مورد این مقوله همراه با اندرکنش خاک- سازه مطالعه‌ای صورت نگرفته‌است. از این رو، باتوجه به اهمیت حیاتی سلامت برج توربین بادی، ضرورت تحقیق در این مقوله احساس می‌شود.

توسعه‌ی منابع انرژی پاک به عنوان نیاز حیاتی سلامت بشر و محیط، در حال رشد است. انرژی باد یکی از مهم‌ترین انرژی‌های تجدیدپذیر است که آلودگی محیطی بسیار ناچیزی دارد. توربین‌های بادی، انرژی جنبشی را از باد می‌گیرند و آن را تبدیل به انرژی الکتریکی می‌کنند. برخلاف نیروگاه‌های انرژی سنتی، توربین‌های بادی منجر به انتشار گازهای گلخانه‌ای یا آلودگی‌های هوا نمی‌شوند [1]. سهم انرژی بادی در سال ۲۰۰۱ تنها ۲۴ گیگاوات بوده در حالی که این مقدار در سال ۲۰۱۸ به ۵۹۱ گیگاوات یعنی بیست و پنج برابر هفده سال قبل رسیده‌است. روند سرمایه‌گذاری در انرژی بادی کماکان مثبت ارزیابی می‌شود به گونه‌ای که در پایان سال ۲۰۲۳ مقدار انرژی تجمعی توربین‌های بادی جهان برابر ۹۰۸ گیگاوات پیش‌بینی می‌گردد [2].

توربین‌های بادی همیشه در مکان‌هایی جانمایی می‌گردند که منابع بادی قابل استفاده، در دسترس باشند. این مکان‌ها به طور معمول در موقعیت‌های باز و خارج از شهرها و مناطق مسکونی هستند. بهره‌برداری پیوسته، ایمن و سودمند چنین دستگاه‌هایی، خود یک چالش مهندسی می‌باشد. ظرفیت و اندازه‌ی توربین‌های بادی به منظور کسب بیشتر انرژی از باد، به سرعت در حال



شکل ۱ نمای مقایسه‌ای توربین بادی فراساحلی دوازده مگاواتی Haliade-X شرکت GE [4]

هدف این تحقیق

در این مقاله، مدل المان محدود توربین بادی با استفاده از نرم‌افزار Abaqus/CAE تهیه گردیده است. این مدل با توربین بادی ساحلی مبنای پنج مگاواتی آزمایشگاه ملی انرژی تجدیدپذیر وزارت نیروی آمریکا (NREL)، مورد صحت‌سنجی قرار گرفت. از تبدیل موجک (متعامد) برای تعیین موقعیت آسیب در توربین بادی استفاده شده است. ورودی تبدیل موجک در این حالت، شکل‌های مودی سازه‌ی آسیب‌دیده هست و خروجی آن ضرایب تبدیل موجک می‌باشند. به منظور ارزیابی کیفیت تشخیص خرابی در دو موقعیت خرابی مختلف، حالات با/ بدون اندرکنش خاک- سازه برای خاک‌های مفروض، تعداد هجده سناریوی خرابی تعریف شد که با استفاده از سی و یک موجک متعامد نرم‌افزار MATLAB و سه سطح مختلف، تحلیل‌های گسترده‌ای صورت گرفت و نتایج قابل قبولی نیز کسب گردید.

ادبیات فنی تبدیل موجک و اندرکنش خاک-

سازه

سوندرسون و دیگران [7] به بررسی پایش سلامت سازه با استفاده از اندازه‌گیری موج تنش که در خلال آزمایش استاتیک پره در آزمایشگاه ملی انرژی تجدیدپذیر آمریکا صورت گرفت، پرداختند. موجک کلاه‌مکزیکی به منظور تشخیص خرابی در پره، مورد استفاده قرار گرفت. فن و کیانو [8] یک الگوریتم تشخیص خرابی براساس تبدیل موجک پیوسته‌ی دوبعدی برای سازه‌های نوع صفحه‌ای براساس روابط مرجع [9]، ارائه دادند. نتایج این مطالعه نشان داد که الگوریتم مطالعه‌شده علاوه بر برتری در مصونیت برابر نویز، قادر به تشخیص خرابی با حسگرهای محدود نیز می‌باشد. در مطالعه‌ی دیگر، دولینسکی و کرازوک [10] یک روش تشخیص خرابی براساس تبدیل موجک برای تشخیص خرابی پره‌های توربین‌های بادی بزرگ در خلال شرایط طبیعی بهره‌برداری ارائه دادند.

کنا و باسو [11] بر روی تشخیص موضعی خرابی برج توربین بادی تمرکز کردند. آنها از الگوهای کرنش فضایی به منظور تعیین موضعی خرابی اطراف پوسته‌ی برج سه‌بعدی استفاده نمودند. به علاوه، هانگ و دیگران [12] با بهره از تبدیل موجک گسسته به بررسی مشخصه‌های مودال پاسخ‌های ناشی از زلزله بر روی سازه پرداختند. در این تحقیق روی پاسخ‌های شتاب‌های اندازه‌گیری‌شده‌ی سازه، تبدیل موجک انجام یافت و روابط گسسته با استفاده از زیرفضای موجک ساخته شد. در مطالعه‌ی دیگر، هی و دیگران [13] با هدف دستیابی به تناسبی میان هزینه محاسباتی و دقت، به ارائه‌ی روش تشخیص خرابی چندمقیاسه (multi-scale) به منظور سازگاری مدل‌سازی سازه‌ای با پردازش سیگنال، پرداختند. در این روش با ترکیب مدل المان محدود پایه‌ی موجک و به‌کارگیری موجک B-spline به‌عنوان تابع شکل و روش شناسایی مودال پایه‌ی موجک، خرابی سازه تشخیص داده شد.

زاجر [14] در سال ۲۰۰۲ رفتار دینامیکی پی‌های توربین‌های بادی فراساحلی را مدل‌سازی نمود و حساسیت فرکانس طبیعی تکیه‌گاه سازه را نسبت به انواع پی‌ها مطالعه کرد. این کار توسط کمپ و دیگران [15] در سال ۲۰۰۳ گسترش داده شد و عدم قطعیت چندین مشخصه‌ی ژئوتکنیکی کلیدی مورد بررسی قرار گرفت. این تحقیق نشان داد حساسیت پی‌های سطحی نسبت به پارامترهای خاک، بیشتر از پی‌های شمع‌ی است. با دنبال کردن این موضوع توسط زاجر [16] در سال ۲۰۰۶، حساسیت فرکانس طبیعی تکیه‌گاه سازه نسبت به ارتعاشات مدل‌های پی‌های شمع‌ی، نشان داده شد. مورتاق و دیگران [17] در سال ۲۰۰۵ نشان دادند که در نظر گرفتن سیستم خاک- پی منعطف، اثر کاهشی بر فرکانس طبیعی پی توربین بادی دارد و باعث مقدار قابل‌توجهی میرایی در سیستم می‌شود. بوش و مانوئل [18] در سال ۲۰۰۹ مدل‌های پی با تکیه‌گاه گیردار و انعطاف‌پذیر را با یکدیگر مقایسه کردند و نشان دادند که

در نظر گرفتن سیستم خاک- پی می‌تواند در پاسخ دینامیکی توربین تأثیرگذار باشد.

ادهیکاری و هاتاچرا [19] در سال ۲۰۱۲ رفتار دینامیک توربین‌های بادی را روی پی‌های انعطاف‌پذیر که در معرض بارهای موج و باد قرار دارند بررسی کردند. مدل ایشان براساس تیر- ستون اولر- برنولی بود و تکیه‌گاه‌های انتهایی الاستیک به منظور مدل کردن طبیعت انعطاف‌پذیر اندرکنش این سیستم‌ها با پی، در نظر گرفته شد. فیتزجرالد و باسو [20] در سال ۲۰۱۶ به اهمیت در نظر گرفتن اندرکنش خاک- سازه در کنترل سازه‌های توربین‌های بادی پرداختند و نشان دادند هنگامی که درمورد سختی خاک شبهاتی وجود دارد، طرح کنترل غیرفعال لرزش ممکن است بی‌تأثیر باشد، به علاوه کنترل لرزش توربین‌های بادی با استفاده از طرح کنترل فعال پیشنهادی ایشان، در شرایطی که مشخصات خاک نامشخص است، امیدوارکننده بود.

تجزیه‌ی موجک دوبعدی چندسطحی

پایه سلامت سازه‌ها شامل پایه لحظه‌ای یک سازه با استفاده از تعدادی حسگر است که یا داخل سازه مدفون شده‌اند و یا روی آن نصب شده‌اند. اسپکمن ایده‌ی پایه سلامت سازه را بسیار نزدیک به سیستم عصبی انسان می‌داند. درحقیقت بدن انسان از تعداد زیادی حسگر تشکیل شده‌است. این حسگرها اطلاعات خود را به مغز می‌فرستند و مغز پس از تفسیر این اطلاعات، درمورد محل و شدت درد تصمیم‌گیری می‌کند. قابل ذکر است که محل قرارگیری حسگرها در دقت تشخیص خرابی مؤثر است [21].

در یک نگاه کلی، هدف از اعمال یک تبدیل ریاضی بر یک سیگنال، به دست آوردن اطلاعات اضافه‌ای است که در یک سیگنال خام اولیه، قابل دسترس نمی‌باشند. درمقایسه با روش‌های مبتنی بر پارامترهای مودال، روش‌های مبتنی بر سیگنال مخصوصاً مورد توجه قرار گرفته‌اند زیرا در مواجهه با رفتار غیرخطی و پیچیده‌ی

سازه‌ها، داده‌های ناقص و ناکافی و همچنین آغشته به نویز، از عملکرد مطلوب‌تر و مؤثرتری برخوردار هستند. تحلیل موجک به عنوان یکی از ابزار پردازش پنجره‌ای با اندازه‌ی نواحی متغیر معرفی شده‌است. تحلیل موجک یکی از مهم‌ترین و سریع‌ترین ابزارهای پردازش سیگنال در حال پیشرفت در بیست سال اخیر می‌باشد. تجزیه‌ی موجک، مقیاس را به عنوان جایگزین فرکانس در نظر می‌گیرد که در واقع یک سیگنال را به بازه‌ی زمان و مقیاس تبدیل می‌کند. روش تحلیل موجک برای کشف آسیب، نیازی به اطلاعاتی از سازه‌ی سالم ندارد که این یک مزیت مهم به شمار می‌رود. این روش فقط به کمک نتایج تحلیلی که روی سازه‌ی آسیب‌دیده انجام می‌شود اقدام به تعیین محل خرابی می‌کند. در تبدیل موجک از مفهوم پنجره استفاده می‌شود، اما طول پنجره‌ها در فرکانس‌های مختلف، تغییر می‌کند. در اصطلاح به این امر تحلیل چنددقتی گفته می‌شود. منظور از تحلیل چنددقتی، تحلیل سیگنال در فرکانس‌های مختلف با دقت‌های متفاوت است. هدف از تحلیل چنددقتی، ارائه‌ی دقت زمانی مناسب و دقت فرکانس نادقیق در فرکانس‌های بالا و درمقابل، دقت فرکانسی خوب و دقت زمانی ضعیف در فرکانس‌های پایین است. هم‌چنین به جای استفاده از موج سینوس از موجک مادر $\psi(t)$ استفاده می‌شود، یعنی،

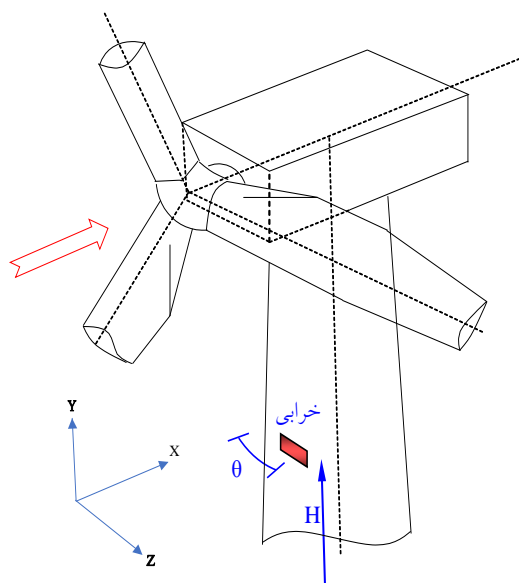
$$\Psi_{a,b}(t) = \frac{1}{\sqrt{a}} \psi\left(\frac{t-b}{a}\right) \quad (1)$$

که در آن a پارامتر مقیاس و b پارامتر جابه‌جایی است. تبدیل موجک یک‌بعدی توسط رابطه‌ی زیر به دست می‌آید.

$$W_f(a, b) = \int_{-\infty}^{\infty} x(t) \Psi_{a,b}(t) dt \quad (2)$$

تبدیل موجک گسسته، سیگنال زمان گسسته را به فرم موجک گسسته تبدیل می‌کند؛ یعنی آن سری ورودی $x = [x_0, \dots, x_{L-1}]^T$ با طول L را به سری ضرب موجک بالاگذر (h) و سری ضرب موجک پایین‌گذر (l) با طول $\frac{L}{2}$ تبدیل می‌نماید.

سازه رخ می‌دهد. از مختصات استوانه‌ای به منظور آدرس‌دهی موقعیت خرابی، بهره برده شده است. محور مختصات H از کف برج است و زاویه‌ی θ خلاف جهت عقربه‌های ساعت در پلان و نسبت به محور رو به باد توربین، اندازه‌گیری می‌شود. سیستم آدرس‌دهی مختصات خرابی برج توربین بادی در شکل ۲ نشان داده شده است.



شکل ۲ سیستم آدرس‌دهی مختصات خرابی برج توربین بادی

به منظور شناسایی خرابی برج توربین بادی توسط تحلیل موجک، دو موقعیت خرابی در تراز ده‌متری و زاویه‌های صفر و ۹۰ درجه در نظر گرفته شده است. سناریوهای خرابی گوناگونی براساس تغییر مدول الاستیسیته از مقدار ۱۰ درصد تا ۹۰ درصد مدول الاستیسیته‌ی اولیه‌ی فولاد برج، با گام ۱۰ درصد، اعمال شده‌اند که در جدول (۱) ارائه گردیده‌اند. در کل تعداد هجده سناریوی خرابی، تعریف گردید.

$$h_j = \sum_{k=0}^{K-1} x_{2j-k} s_k,$$

$$l_j = \sum_{k=0}^{K-1} x_{2j-k} t_k \quad \forall 0 \leq j \leq \frac{L}{2}$$

(۳)

که $t = [t_0, \dots, t_{K-1}]^T$ و $s = [s_0, \dots, s_{K-1}]^T$

فیلترهای موجک خوانده می‌شوند.

یادآوری می‌شود $X^{(i)}$ یک ماتریس دوبعدی است

که نشانگر شکل مودی سه‌بعدی سازه‌ی آسیب‌دیده است.

تبدیل موجک دوبعدی چندسطحی، ماتریس نام‌برده را به

چهار ماتریس جزئی $HH_j^{(i)}$ و $HL_j^{(i)}$ ، $LH_j^{(i)}$ ، $LL_j^{(i)}$ تجزیه

می‌کند که حرف اول متناظر با به‌کارگیری عملگر

فرکانسی پایین‌گذر (L) یا بالاگذر (H) بر روی ردیف‌های

ماتریس مذکور و حرف دوم به اعمال فیلتر بر روی

ستون‌های $X^{(i)}$ براساس مقیاس z اشاره می‌کند.

روش پیشنهادی تشخیص خرابی

در این تحقیق، پردازش سیگنال بر روی پاسخ‌های

به‌دست‌آمده از سازه‌ی آسیب‌دیده انجام می‌گیرد. در واقع،

شکل مودی برج توربین بادی به‌عنوان سیگنال ورودی و

با استفاده از نرم‌افزار Abaqus/CAE اخذ می‌گردد و

با استفاده از تجزیه‌ی موجک دوبعدی چندسطحی،

پردازش سیگنال به‌صورت تحلیل‌های متعدد انجام

می‌گیرد. تحلیل‌های گسترده‌ی مورد اشاره، شامل بررسی

تأثیر شکل‌های مودی مختلف، خرابی‌های متنوع،

موجک‌های متعامد و چندین سطح تجزیه می‌گردند. در

کل سه شکل مودی اول جلو-عقب، سه شکل مودی

اول پهلو-پهلو، هجده سناریوی خرابی، سی و یک

موجک متعامد، سه سطح تجزیه و دو نوع خاک مختلف،

مورد بررسی قرار گرفته است.

خرابی به‌صورت سطح مربعی، در نظر گرفته می‌شود

و آدرس‌دهی براساس مرکز سطح آن صورت می‌گیرد.

به‌منظور استفاده از شکل‌های مودی برای تشخیص

خرابی، فرض بر این است که آسیب در ناحیه‌ی خطی

جدول ۱ انواع سناریوهای خرابی

مدول الاستیسیته (% E)	جزئیات خرابی			α (°)	θ (°)	H (m)	سناریو
	A (m ²)	b (m)	h (m)				
۱۰	۱	۱	۱	۱۹/۴	۰	۱۰	۱
۲۰	۱	۱	۱	۱۹/۴	۰	۱۰	۲
۳۰	۱	۱	۱	۱۹/۴	۰	۱۰	۳
۴۰	۱	۱	۱	۱۹/۴	۰	۱۰	۴
۵۰	۱	۱	۱	۱۹/۴	۰	۱۰	۵
۶۰	۱	۱	۱	۱۹/۴	۰	۱۰	۶
۷۰	۱	۱	۱	۱۹/۴	۰	۱۰	۷
۸۰	۱	۱	۱	۱۹/۴	۰	۱۰	۸
۹۰	۱	۱	۱	۱۹/۴	۰	۱۰	۹
۱۰	۱	۱	۱	۱۹/۴	۹۰	۱۰	۱۰
۲۰	۱	۱	۱	۱۹/۴	۹۰	۱۰	۱۱
۳۰	۱	۱	۱	۱۹/۴	۹۰	۱۰	۱۲
۴۰	۱	۱	۱	۱۹/۴	۹۰	۱۰	۱۳
۵۰	۱	۱	۱	۱۹/۴	۹۰	۱۰	۱۴
۶۰	۱	۱	۱	۱۹/۴	۹۰	۱۰	۱۵
۷۰	۱	۱	۱	۱۹/۴	۹۰	۱۰	۱۶
۸۰	۱	۱	۱	۱۹/۴	۹۰	۱۰	۱۷
۹۰	۱	۱	۱	۱۹/۴	۹۰	۱۰	۱۸

برای تعیین کیفیت خرابی در مقدار ارتفاع (ΔH) و زاویه ($\Delta\theta$)، از روابط زیر بهره گرفته شده است.

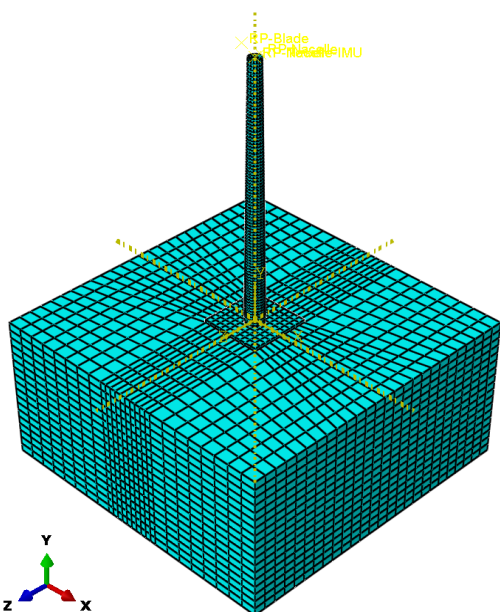
$$|\Delta| = \sqrt{(\Delta H)^2 + \left(\Delta\theta \frac{\pi}{180} \left(\frac{R + R'}{2}\right)\right)^2}, \quad (6)$$

در این روابط α زاویه مرکزی خرابی، β زاویه خرابی تشخیص داده شده توسط تحلیل موردنظر، b عرض خرابی، h بعد ارتفاعی خرابی، A سطح مقطع خرابی، R' شعاع برج در محل خرابی و Z ارتفاع خرابی تشخیص داده شده توسط تحلیل موردنظر است. فرض این روابط بر این است که در داخل محدوده خرابی، اختلاف برابر صفر است و در خارج از محدوده خرابی، کیفیت تشخیص خرابی (ΔH و $\Delta\theta$) براساس کمترین فاصله بین محل خرابی تا مرز خرابی، تعیین می‌گردد. نرم‌افزار MATLAB دارای توابع موجک مختلف

$$\Delta H = \min \begin{cases} \left| Z - \left(H - \frac{h}{2} \right) \right| \\ \left| Z - \left(H + \frac{h}{2} \right) \right| \\ 0 \text{ if } H - \frac{h}{2} \leq Z \leq H + \frac{h}{2} \end{cases} \quad (4)$$

$$\Delta\theta = \min \begin{cases} \text{I, II: } \left| \beta - \theta - \frac{\alpha}{2} \right| \\ \text{III: } \left| 360 - \beta + \theta - \frac{\alpha}{2} \right| \\ \text{IV: } \left| \theta - \frac{\alpha}{2} - \beta \right| \\ 0 \text{ if } \theta - \frac{\alpha}{2} \leq \beta \leq \theta + \frac{\alpha}{2} \end{cases} \quad (5)$$

درآمده است. مدل‌های متعددی با در نظر گرفتن مش‌بندی‌های مختلف و با لحاظ کردن فرمولاسیون‌های انتگرال‌گیری کامل (full integration) و انتگرال‌گیری کاهش‌یافته (reduced integration) و پرهیز از پدیده‌هایی همانند قفل‌شدگی برشی (shear locking) و ساعت شنی (hourglass)، ساخته و مورد تحلیل قرار گرفته‌اند. در مدل برج، از المان solid نوع C3D20R بهره برده شده که دارای مرتبه‌ی هندسی درجه ۲ (quadratic order) می‌باشد و انتگرال‌گیری آن کاهش‌یافته، است.



شکل ۳ مدل المان محدود سه‌بعدی توربین بادی به همراه پی سطحی و خاک

بعد و تری (محیطی) و ارتفاعی المان برج برابر مقدار تقریبی ۱ متر، در نظر گرفته شده و ضخامت المان، برابر ضخامت هندسه‌ی برج اختیار شده است. تعداد المان‌های برج برابر ۱۳۲۰ است. پی بتنی مربعی به ابعاد $20 \times 20 \times 1$ متر مطابق مرجع [20] در نظر گرفته شد. مشخصات مدل‌های خاک استفاده‌شده در این مطالعه براساس معیار موهر-کولمب (Mohr-Coloumb)، در

است که تنوع آنها در نسخه‌های مختلف این نرم‌افزار، متفاوت می‌باشد. نسخه‌ی نرم‌افزار مورد استفاده در این تحقیق، MATLAB R2016b است و فهرست خانواده‌ها و موجک‌های متعامد این نسخه در جدول ۲ گردآوری شده است. موجک متعامد، موجکی است که تبدیل موجک مرتبط با آن متعامد است؛ یعنی تبدیل موجک معکوس، الحاقی (adjoint) تبدیل موجک می‌باشد. همان‌طوری‌که مشاهده می‌گردد بعضی از خانواده‌ها شامل چندین موجک متفاوت هستند به‌طوری‌که موجک Daubechies دارای ده موجک متفاوت است.

جدول ۲ فهرست خانواده‌ها و موجک‌های متعامد نرم‌افزار MATLAB R2016b[22]

خانواده	موجک‌ها
Haar	Haar
Daubechies	db1, db2, db3, db4, db5, db6, db7, db8, db9, db10, db**
Symlets	sym2, sym3, sym4, sym5, sym6, sym7, sym8, sym**
Coiflets	coif1, coif2, coif3, coif4, coif5
DMeyer	Dmey
Fejer-Korovkin	fk4, fk6, fk8, fk14, fk18, fk22

مطالعات عددی

در این تحقیق به منظور مدل‌سازی المان محدود توربین بادی و شرایط محیطی آن، از نرم‌افزار المان محدود Abaqus/CAE 6.14-2 [23] استفاده گردیده و مراحل پردازش پاسخ‌ها توسط نرم‌افزار MATLAB R2016b [22] صورت گرفته است.

مدل‌های استفاده‌شده در این تحقیق، مدل توربین بادی فاقد پی-خاک و مدل توربین بادی به همراه پی سطحی و خاک می‌باشد. توربین بادی در فضای سه‌بعدی، مدل شده و سیستم مختصات کارتزین برای مدل‌سازی المان محدود، اختیار گردیده است. مدل المان محدود سه‌بعدی توربین بادی در شکل ۳ به نمایش

توربین بادی مبنای پنج مگاواتی NREL در گزارش فنی جانکمن و دیگران [24]، ارائه شده است. البته در این گزارش فرکانس‌های طبیعی مود سوم طولی و عرضی توربین بادی مشخص نشده‌اند هم‌چنین اطلاعاتی در مورد سیستم خاک-پی ارائه نشده است.

در جدول ۴) فرکانس‌های طبیعی خمشی مدل المان محدود پایه‌گیردار این تحقیق و فرکانس‌های طبیعی توربین بادی مبنای پنج مگاواتی NREL، ارائه شده است. مطابق این نتایج، حداکثر اختلاف نسبی بین فرکانس‌های طولی و عرضی این تحقیق نسبت به مدل مبنا به ترتیب برابر ۰٫۵،۴۰٪ و ۳٫۸۶٪ است. همان‌طوری که ملاحظه می‌شود با وجود تفاوت بنیادی بین نرم‌افزارهای Abaqus/CAE، FAST و ADAMS، نتایج فرکانس‌های طبیعی مدل این تحقیق، حاکی از دقت قابل قبول نسبت به فرکانس‌های طبیعی توربین بادی مبنای پنج مگاواتی NREL است.

به منظور صحت‌سنجی مدل خاک، فرکانس‌های مودال مدل المان محدود آن، با حل بسته‌ی (-closed form solution) فرکانس‌های مودال خاک الاستیک خطی یکنواخت که براساس مرجع [25]، استخراج شده‌اند، مورد مقایسه قرار گرفت. نتایج مقایسه که در جدول ۵) گردآوری شده‌اند، حاکی از حداکثر اختلاف ۱٫۰۶٪ بین مقادیر فرکانس‌های مودال بود.

جدول ۳) ارائه شده است. دو نوع خاک مختلف در نظر گرفته شد. خاک (۱) رس عادی تحکیم یافته است و خاک (۲) ماسه‌ی متراکم می‌باشد که سخت‌تر از خاک ۱ است. ابعاد مدل خاک به صورت مربعی و $100 \times 100 \times 50$ متر اختیار شده است. در مدل خاک، از المان solid نوع C3D8 بهره‌جسته شد، هم‌چنین المان پی نیز از المان solid نوع C3D8 در نظر گرفته شد. اتصال کف خاک به صورت کاملاً گیردار لحاظ شده است و فرض بر این است که بعد از ۵۰ متر ضخامت خاک مورد نظر، به بستر سنگی (bed rock) خواهیم رسید. بعد عرضی المان‌های در نظر گرفته شده برای پی، برابر ۲ متر بوده و به منظور المان‌بندی مناسب، بعد عرض خاک در زیر پی نیز برابر ۲ متر در نظر گرفته شده است. ضخامت المان خاک در زیر پی برابر ۲ متر بوده و با توجه به اینکه هر چه به سمت سنگ بستر می‌رویم، از اهمیت بعد مش خاک، کاسته می‌شود، ضخامت تقریبی ۵ متر برای آن منظور گردیده است.

بعد تقریبی المان خاک در محیط بیرونی و کف آن، حدود ۵ متر اختصاص داده شده که براساس آن، بعد المان‌های میانی از مقدار ۲ متر داخلی، به صورت خطی به مقدار تقریبی ۵ متر خارجی، تغییر یافته‌اند. تعداد المان‌های پی و خاک به ترتیب برابر ۱۰۰ و ۱۲۱۶۸ است. این مدل با توربین بادی ساحلی مبنای پنج مگاواتی NREL، مورد صحت‌سنجی قرار گرفت. مشخصات

جدول ۳ مشخصات مدل‌های خاک استفاده شده در این تحقیق [20]

مشخصات مدل	خاک ۱ (رس عادی تحکیم یافته)	خاک ۲ (ماسه‌ی متراکم)
وزن مخصوص غیراشباع (kN/m^3)	۱۵	۱۷
مدول یانگ (kN/m^2)	۱۰۰۰	۵۰۰۰
ضریب پواسون	۰٫۳۵	۰٫۳
چسبندگی (kN/m^2)	۵	۰٫۱
زاویه‌ی اصطکاک ($^\circ$)	۰	۳۵
زاویه‌ی اتساع ($^\circ$)	۰	۵

جدول ۴ مقایسه‌ی فرکانس‌های طبیعی مدل توربین بادی پایه گیردار و نتایج جانکمن و دیگران [24]

مدل نرم‌افزار	مود اول طولی برج (Hz)	مود اول عرضی برج (Hz)	مود دوم طولی برج (Hz)	مود دوم عرضی برج (Hz)	مود سوم طولی برج (Hz)	مود سوم عرضی برج (Hz)
FAST	۰,۳۲۴۰	۰,۳۱۲۰	۲,۹۰۰۳	۲,۹۳۶۱	*	*
ADAMS	۰,۳۱۹۵	۰,۳۱۶۴	۲,۸۵۹۰	۲,۹۴۰۸	*	*
Fixed-base model	۰,۳۲۳۳	۰,۳۲۳۹	۲,۷۴۳۸	۲,۸۲۷۲	۷,۹۵۳۱	۸,۱۵۱۴

جدول ۵ فرکانس‌های طبیعی مدل المان محدود خاک و مقایسه‌ی آن با مقادیر نظری

مود	مقادیر نظری (Hz)		این تحقیق (Hz)		اختلاف نسبی (%)	
	خاک ۱	خاک ۲	خاک ۱	خاک ۲	خاک ۱	خاک ۲
۱	۰,۰۷۸۶	۰,۱۶۸۲	۰,۰۷۸۴	۰,۱۶۷۹	۰,۱۸	۰,۱۷
۲	۰,۲۳۵۷	۰,۵۰۴۵	۰,۲۳۴۷	۰,۵۰۲۳	۰,۴۳	۰,۴۳
۳	۰,۳۹۲۸	۰,۸۴۰۸	۰,۳۸۸۷	۰,۸۳۲۵	۱,۰۶	۰,۹۹

نتایج

محسوسی در ترکیب رنگ شکل مودی علی‌رغم آسیب مصنوعی به برج توربین بادی، مشاهده نمی‌شود. ولیکن تجزیه‌ی موجک گسسته، حاکی از حقیقت دیگری است. چنانچه نقشه‌های مقادیر ضریب تجزیه قطری موجک، نشان‌دهنده‌ی خرابی براساس شکل‌های مودی مورد اشاره، هستند.

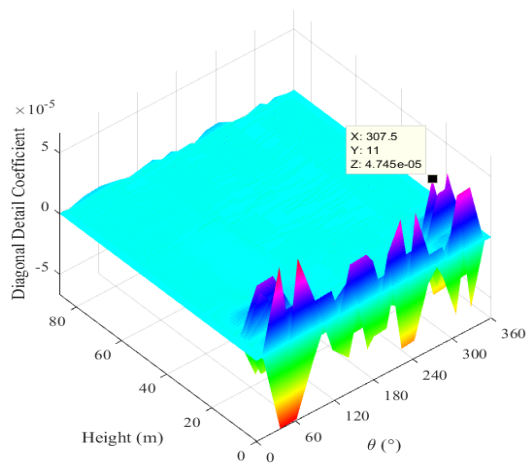
در شکل (۵) نقشه‌ی تجزیه‌ی موجک گسسته‌ی شکل مودی اول جلو- عقب مدل با اندرکنش خاک- سازه بر روی خاک (۱) براساس سناریوی خرابی (۵) توسط موجک haar در سطح تجزیه‌ی (۱)، به نمایش درآمده و مختصات خرابی نیز با دقت مناسبی بر روی آن، مشخص شده‌است.

هم‌چنین شکل (۶) نقشه‌ی تجزیه‌ی موجک گسسته‌ی شکل مودی دوم جلو- عقب مدل بدون اندرکنش خاک- سازه را بر روی خاک (۱) براساس سناریوی خرابی (۵) توسط موجک Fejer-Korovkin8 (FK8) در سطح تجزیه‌ی (۳) نشان می‌دهد.

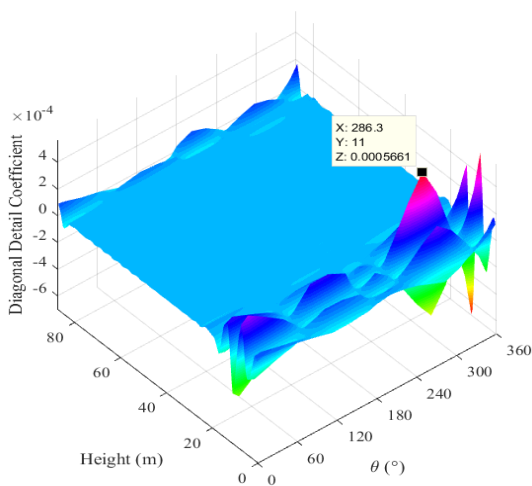
نظر به تعریف سناریوهای خرابی گوناگون، فرکانس طبیعی مدل‌های آسیب‌دیده در حالت‌های بدون اندرکنش خاک- سازه، خاک شماره‌ی (۱) و خاک شماره‌ی (۲)، محاسبه شدند. در کل شاهد کاهش فرکانس ارتعاشی سازه‌ی آسیب‌دیده نسبت به سازه‌ی سالم‌تر، با افزایش تدریجی خرابی هستیم که این را می‌توان به‌عنوان نشانه‌ای از وجود آسیب در سازه تلقی نمود هرچند بیانگر موقعیت آسیب نیست.

همان‌طوری که ذکر شد به‌منظور بررسی تشخیص خرابی، از مختصات استوانه‌ای برای نمایش موقعیت آسیب‌دیده، استفاده گردید. شکل (۴)، سه شکل مودی اصلی خمشی جلو- عقب برج توربین بادی بر روی پی سطحی برای نمونه خاک (۱) و سناریوی خرابی (۵)، به‌نمایش درآمده‌است. درواقع در این شکل، پوسته‌ی بیرونی دوکی شکل برج توربین بادی، به‌صورت اغراق‌آمیزی، مسطح شده‌است.

همان‌طوری که در این شکل مشاهده می‌شود، تغییر

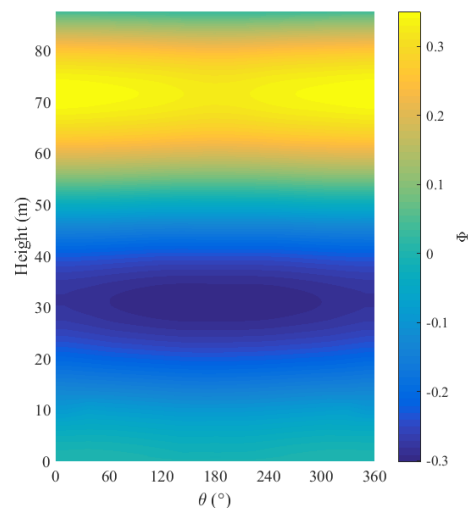
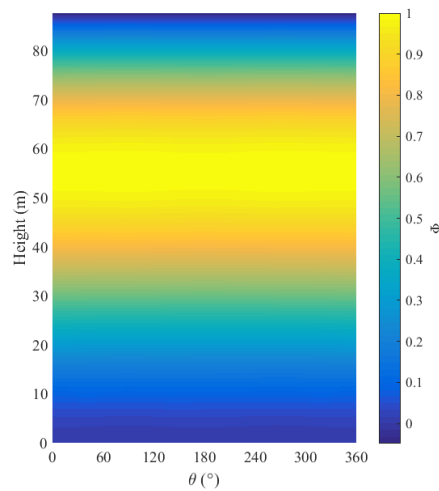
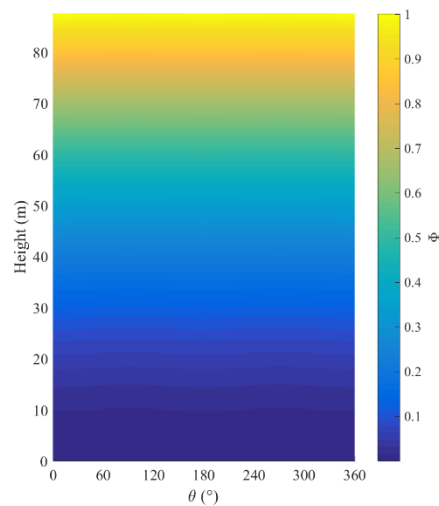


شکل ۵ نقشه‌ی تجزیه‌ی موجک گسسته شکل مودی اول جلو- عقب مدل با اندرکنش خاک- سازه (خاک ۱) طبق سناریوی خرابی (۵) توسط موجک haar در سطح (۱)



شکل ۶ نقشه‌ی تجزیه‌ی موجک گسسته‌ی شکل مودی دوم جلو- عقب مدل بدون اندرکنش خاک- سازه طبق سناریوی خرابی (۵) توسط موجک FK8 در سطح (۳)

در شکل (۷ و ۸)، شاخص کیفی تشخیص خرابی موجک‌های متعامد، به ترتیب به‌ازای سناریوهای خرابی ۱ الی ۹ و ۱۰ الی ۱۸ به نمایش درآمده‌است. واژگان حداقل، میانگین و حداکثر در این شکل‌ها، به ترتیب به کمترین، میانگین و بیشترین تفاوت بین موقعیت خرابی تعبیه‌شده و خرابی تشخیص داده‌شده، اشاره می‌نمایند. همان‌گونه که در این شکل‌ها مشاهده می‌گردد حداقل



شکل ۴ شکل‌های مودی اصلی خمشی جلو- عقب برج توربین بادی بر روی پی سطحی برای نمونه خاک (۱) و سناریوی خرابی (۵)، (بالا) مود اول، (وسط) مود دوم، (پایین) مود سوم

ضعیف‌ترین دقت‌های تشخیص خرابی، بسیار متفاوت هستند به طوری که مطابق شکل ۸) تفاوت حالات بدون خاک و با اندرکنش خاک-سازه برای موجک Fejer-Korovkin به بالغ بر ۵۰ متر می‌رسد.

شاخص مورد اشاره، برابر مقدار صفر است که بسیار ایدئال می‌باشد. البته این بدان معنی نیست که به‌ازای هر نوع شکل مودی و برای هر سناریوی خرابی، موقعیت خرابی با بهترین دقت به‌دست آید. در نقطه‌ی مقابل،



شکل ۷ شاخص کیفی تشخیص خرابی موجک‌های متعامد به‌ازای سناریوهای خرابی ۱ الی ۹



شکل ۸ شاخص کیفی تشخیص خرابی موجک‌های متعامد به‌ازای سناریوهای خرابی ۱۰ الی ۱۸

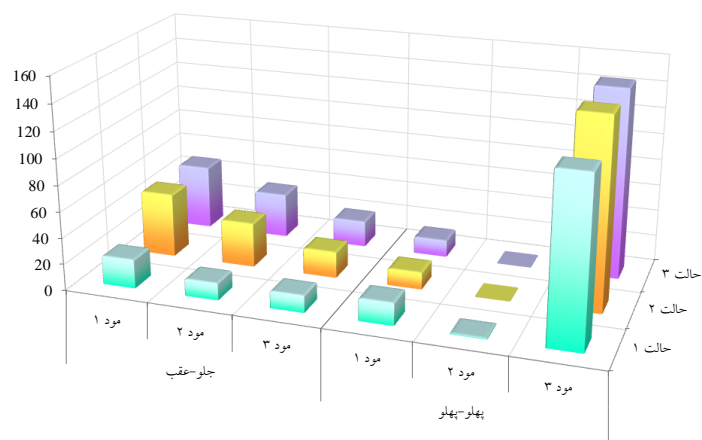
نشان داده شده است.

حالات ۱، ۲ و ۳ به ترتیب به عدم اندرکنش خاک-سازه، با اندرکنش خاک-سازه، با اندرکنش خاک-سازه (خاک ۱) و با اندرکنش خاک-سازه (خاک ۲)، اشاره دارند. همان‌طوری که در این جدول مشاهده می‌گردد، تأثیر اندرکنش خاک-سازه قابل توجه است به طوری که شاهد افزایش کمی ۳۶ و ۱۹ درصدی تعداد جواب‌های مجاز حالت اندرکنش خاک-سازه نسبت به حالت بدون اندرکنش خاک-سازه به ترتیب برای سناریوهای ۱ الی ۹ و ۱۰ الی ۱۸ هستیم. طبق این جدول به جز شکل‌های مودی اول و دوم پهلو-پهلو، مابقی شکل‌های مودی دارای افزایش تعداد جواب‌های مجاز هستند که در شکل نیز مشخص است.

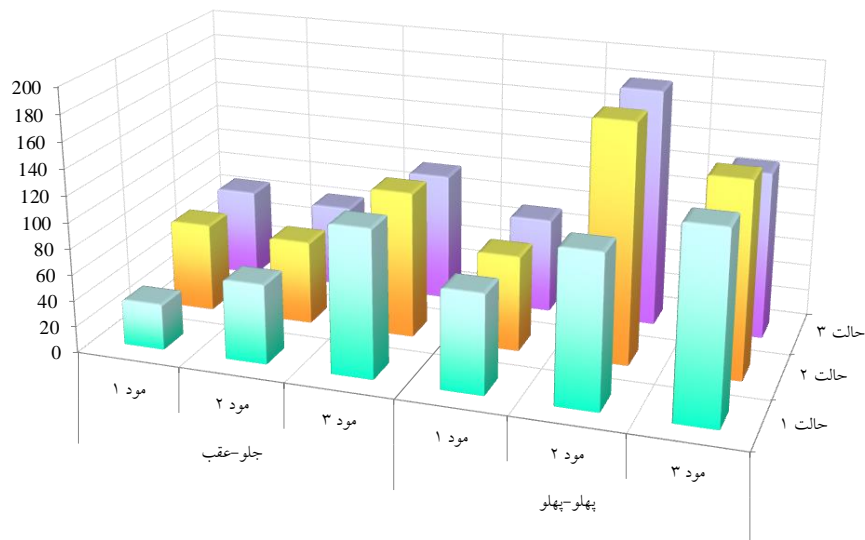
هرچند کیفیت دقت‌های تشخیص خرابی میانگین حالات با/ بدون اندرکنش خاک-سازه، اندکی متمایل به حالت بدون اندرکنش خاک-سازه است ولیکن اختلاف فاحشی در ضعیف‌ترین دقت‌های تشخیص خرابی مشاهده می‌گردد به گونه‌ای که دقت تشخیص خرابی با در نظر گرفتن اندرکنش خاک-سازه، بهبود شایانی یافته است. در صورتی که به‌ازای کلیه شکل‌های مودی، سناریوهای تعریف‌شده و حالات با/ بدون اندرکنش خاک-سازه، موجک‌های محدوده‌ی کیفی مجاز را به‌دست آوریم، می‌توان اثر اندرکنش خاک-سازه را به‌خوبی ارزیابی نمود. تعداد کمی موجک‌های محدوده‌ی جواب مجاز طبق کلیه سناریوها در جدول ۶) گردآوری شده و نمودار آنها در شکل ۹) و شکل ۱۰)

جدول ۶ تعداد کمی موجک‌های محدوده‌ی جواب مجاز

سناریو	حالت	مود جلو- عقب			مود پهلو- پهلو			تعداد کل
		۱	۲	۳	۱	۲	۳	
۱ الی ۹	۱	۲۲	۱۳	۱۳	۱۷	۱	۱۲۶	۱۹۲
	۲	۴۹	۳۴	۲۰	۱۳	۰	۱۴۵	۲۶۱
	۳	۴۹	۳۴	۲۰	۱۳	۰	۱۴۵	۲۶۱
۱۰ الی ۱۸	۱	۳۵	۶۱	۱۱۳	۷۶	۱۱۶	۱۴۳	۵۴۴
	۲	۶۸	۶۴	۱۱۲	۷۳	۱۸۲	۱۴۹	۶۴۸
	۳	۶۸	۶۴	۹۹	۷۳	۱۸۲	۱۲۸	۶۱۴



شکل ۹ نمودار کمی موجک‌های محدوده‌ی جواب مجاز به‌ازای سناریوهای خرابی ۱ الی ۹



شکل ۱۰ نمودار کمی موجک‌های محدودی جواب مجاز به‌ازای سناریوهای خرابی ۱۰ الی ۱۸

تشخیص‌دهنده‌ی انحنای شکل مودی پهلوی- پهلوی به‌عنوان خرابی را به‌ترتیب برای سناریوهای ۱ الی ۹ و ۱۰ الی ۱۸ نشان می‌دهند. این شکل‌ها براساس تقریب به ۳۰۰۰۰ تحلیل موجک، ترسیم شده‌اند و تعداد کل رخداد برای این شکل‌ها به‌ترتیب برابر ۳۲ و ۲۹ مورد می‌باشد.

مطابق شکل (۱۱) رخداد چنین وضعیتی برای حالت بدون اندرکنش خاک-سازه، فقط برای شکل مودی سوم پهلوی- پهلوی رخ می‌دهد ولی برای حالت با اندرکنش خاک-سازه، این رخداد در شکل مودی دوم پهلوی- پهلوی رخ داده‌است. هم‌چنین رخداد چنین وضعیتی برای خرابی‌های ضعیف‌تر در دو حالت با/ بدون اندرکنش خاک-سازه، بیشتر است.

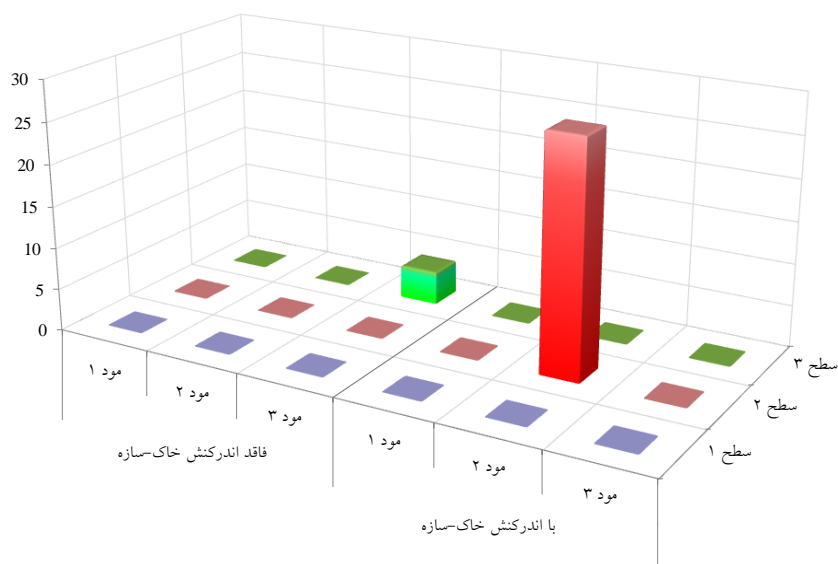
نکته‌ی جالب دیگر در سطح تجزیه‌ی موجک این است که در حالت بدون اندرکنش خاک-سازه، چنین رخدادی تنها در سطح (۳) تجزیه‌ی موجک صورت می‌گیرد ولی در حالت با اندرکنش خاک-سازه، چنین رخدادی تنها در سطح (۲) تجزیه‌ی موجک، پدیدار می‌شود.

به‌عنوان نمونه، نقشه‌ی تجزیه‌ی موجک گسسته‌ی شکل مودی دوم پهلوی- پهلوی مدل با اندرکنش خاک-سازه

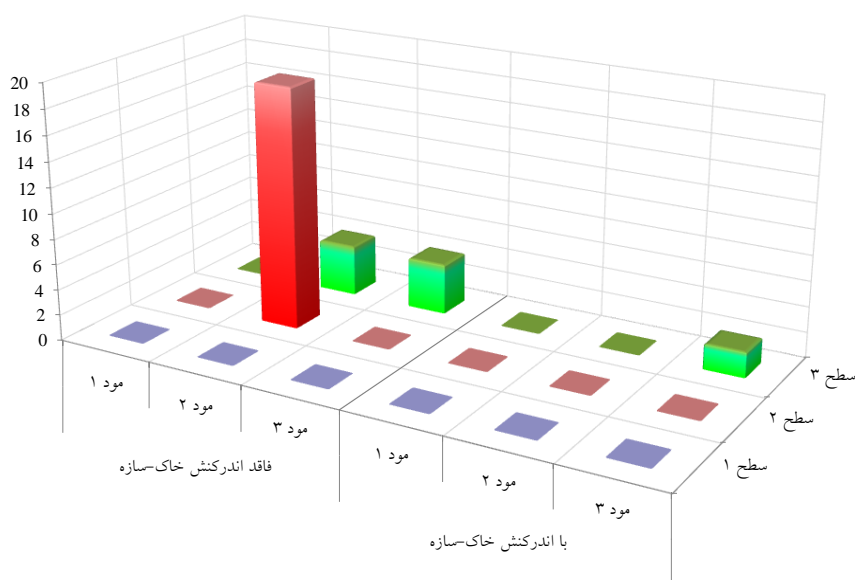
طبق سناریوی ۱۰ الی ۱۸ (جدول ۶)، به‌جز شکل‌های مودی دوم و سوم جلو-عقب و اول و سوم پهلوی-پهلوی، مابقی شکل‌های مودی دارای افزایش تعداد جواب‌های مجاز هستند که در شکل نیز مشخص است. کاهش تعداد جواب‌های مجاز برای خاک (۲) نسبت به خاک (۱) برای شکل مودی سوم جلو-عقب و سوم پهلوی- پهلوی، به‌ترتیب برابر ۱۳ و ۱۴ درصدی می‌باشد که در نوع خود جالب می‌باشد

مسئله‌ی دیگر مربوط به موجک‌هایی می‌گردند که انحنای شکل‌های مودی دوم و سوم را به‌عنوان خرابی اعلام می‌نمایند. این موضوع برای هر دو حالت با/ بدون اندرکنش خاک-سازه صدق می‌کند. تعداد رخداد چنین وضعیتی برای حالت اندرکنش خاک-سازه، تقریب به هفت برابر حالت بدون اندرکنش خاک-سازه به‌ازای سناریوی خرابی ۱ الی ۹ می‌رسد، ولیکن این نسبت به‌ازای سناریوی خرابی ۱۰ الی ۱۸ برعکس می‌باشد به‌طوری‌که تعداد رخداد چنین وضعیتی برای حالت بدون اندرکنش خاک-سازه، بالغ بر ۱۳ برابر حالت اندرکنش خاک-سازه است. شکل (۱۱) و شکل (۱۲) نمودار تأثیر اندرکنش خاک-سازه بر تعداد موجک‌های

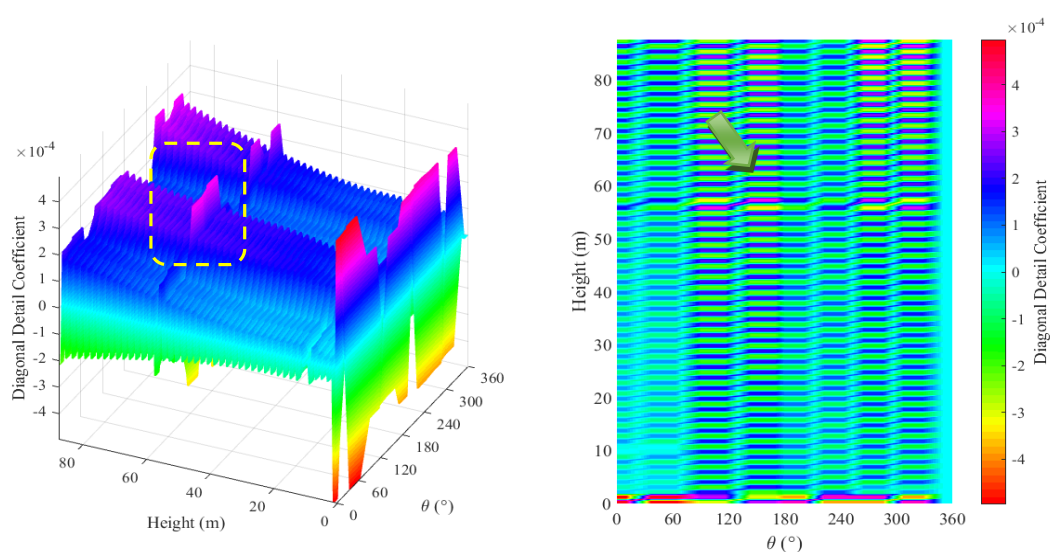
با خاک شماره‌ی (۱) و سناریوی خرابی (۵) توسط موجک haar در سطح (۲) را نشان می‌دهد و از جمله مواردی است که در آن، انحنای شکل مودی (به‌اشتباه) به‌عنوان محل خرابی (که در شکل نیز مشخص شده)، گزارش شده‌است.



شکل ۱۱ نمودار تأثیر اندرکنش خاک-سازه بر تعداد موجک‌های تشخیص‌دهنده‌ی انحنای شکل مودی پهلو-پهلو به‌عنوان خرابی به‌ازای سناریوهای ۱ تا ۹



شکل ۱۲ نمودار تأثیر اندرکنش خاک-سازه بر تعداد موجک‌های تشخیص‌دهنده‌ی انحنای شکل مودی پهلو-پهلو به‌عنوان خرابی به‌ازای سناریوهای ۱۰ تا ۱۸



شکل ۱۳ نقشه‌ی تجزیه‌ی موجک گسسته‌ی شکل مودی دوم پهلو - پهلو مدل خاک شماره‌ی (۱) و سناریوی خرابی (۵) توسط موجک haar در سطح (۲)

توربین بادی بر روی پی سطحی و مقایسه‌ی آن با حالت پایه گیردار، انجام یافت و ملاحظه گردید اضافه نمودن خاک به مدل توربین بادی، باعث تغییر در فرکانس طبیعی مجموعه، به مقدار حداکثر ۰٫۳۵٪ می‌شود و نوع خاک، برای پی سطحی، هیچ تأثیری بر روی فرکانس‌ها ندارد به طوری که اختلاف‌های نسبی فرکانس‌ها برای دو نوع خاک مختلف، مقدار ثابتی است.

بعضی نتایج حاکی از این هستند که تجزیه‌ی موجک گسسته‌ی سطح ۲، دارای کارایی بیشتری نسبت به سطح ۱ می‌باشد. این مسئله شاید بیانگر این موضوع باشد که مؤلفه‌ی مودی مورد نظر دارای اغتشاشاتی است که باتوجه به یکی از کاربردهای تجزیه‌ی موجک که همانا نویززدایی است، این فرآیند در تجزیه‌ی سطح (۲) منجر به عملکرد بهتری می‌شود و در واقع تجزیه‌ی سطح (۱)، وظیفه‌ی نویززدایی را انجام می‌دهد. در این تحقیق نیز عملکرد تجزیه‌ی سطح (۲) موجک دارای بهترین عملکرد به‌ازای موقعیت‌های مختلف خرابی و خاک‌های مورد نظر بود.

احتمال دارد که دقت کم بعضی موجک‌ها در شکل‌های مودهای دوم و سوم، به‌علت اندازه‌ی مش

در انتهای این بخش، موجک‌هایی که دارای بهترین عملکرد تشخیص موقعیت خرابی بوده‌اند، گردآوری شده‌اند. بهترین موجک‌هایی که در سناریوی ۱ الی ۹ و با بدون اندرکنش خاک - سازه، دارای بهترین جواب کیفی هستند، عبارت از Daubechies9، Daubechies5 و Symlets7 در سطح (۲) شکل مودی اول جلو - عقب و با دقت کیفی ۰٫۵ الی ۱٫۰ متر می‌باشند. در مقابل، بهترین موجک‌هایی که در سناریوی ۱۰ الی ۱۸ و با بدون اندرکنش خاک - سازه، دارای بهترین جواب کیفی هستند، عبارت از Daubechies3 و Symlets3 در سطح (۲) و Fejer-Korovkin8 در سطح (۱) شکل مودی اول پهلو - پهلو و Daubechies2 و Symlets2 در سطح (۲) شکل مودی سوم پهلو - پهلو و با دقت کیفی ۰ الی ۰٫۵ متر می‌باشند.

نتیجه‌گیری

کارایی روش پیشنهادی با استفاده از موجک‌های متعامد در تعیین خرابی با شدت‌های کم تا زیاد و دو موقعیت مختلف همراه با/ بدون اندرکنش خاک - سازه، محک خورد و نتایج خوبی نیز به‌دست آمد. مدل المان محدود

«موقعیت خرابی در ارتفاع ۱۰ متر و زاویه‌ی ۹۰ درجه» است. با اینکه فرکانس‌های ارتعاشی یکسانی برای هر دو مدل خاک (۱) و (۲) به دست آمد ولی تغییرات بسیار ناچیز در شکل مودی (باتوجه به نوع خاک)، سبب اختلاف در نتایج شده است.

نتایج عددی نشان می‌دهند هرچه قدر شدت خرابی کاهش می‌یابد، شناسایی موقعیت دقیق آن نیز سخت‌تر می‌گردد. به‌طور کلی مشاهده می‌گردد که در نظر گرفتن اندرکنش خاک- سازه باعث افزایش دقت تشخیص خرابی می‌شود.

نه‌چندان کوچک باشد و شاید بتوان با کاهش اندازه‌ی مش، دقت کیفی این موجک‌ها را در شناسایی خرابی، افزایش داد. البته موجک‌هایی که در مش بزرگ‌تر، دارای جواب قابل قبول باشند نیز بسیار باارزش می‌باشند به‌طوری‌که باتوجه به تعداد محدود حسگرهای ابزار دقیق، این موجک‌ها احتمالاً دارای عملکرد مناسب‌تری باشند. در واقع با حس قسمت‌های کمتری از سازه، خرابی آن تشخیص داده می‌شود.

هرچند این تحقیق، حاکی از برابری نتایج خاک‌های (۱) و (۲) برای «موقعیت خرابی در ارتفاع ۱۰ متر و زاویه‌ی صفر درجه» بود ولیکن شاهد نابرابری نتایج برای

مراجع

1. Shohag, M. A. S., Hammel, E. C., Olawale, D. O., and Okoli, O. I., "Damage Mitigation Techniques in Wind Turbine Blades: A Review", *Wind Engineering*, Vol. 41, No. 1, pp. 185-210, (2017).
2. Ohlenforst, k., Sawyer, S., Dutton, A., and et al., "Global Wind Report 2018", Global Wind Energy Council (GWEC), (2019).
3. Hau, E., "Wind Turbines: Fundamentals, Technologies, Application, Economics", Springer, Berlin, (2005).
4. GE's Haliade-X 12 MW prototype to be installed in Rotterdam, <https://www.genewsroom.com/press-releases/ges-haliade-x-12-mw-prototype-be-installed-rotterdam>, (2019).
5. García Márquez, F. P., Tobias, A. M., Pinar Pérez, J. M., and Papaalias, M., "Condition Monitoring of Wind Turbines: Techniques and Methods", *Renew. Energy*, Vol. 49, pp. 169-78, (2012).
6. Tegen, S., Lantz, E., Hand, M., Maples, B., Smith, A., and Schwabe, P., "Cost of Wind Energy Review. NREL/TP-5000-56266", Golden, CO: National Renewable Energy Laboratory, US, (2011).
7. Sundaresan, M. J., Schulz, M. J., Ghoshal, A., "Structural Health Monitoring Static Test of a Wind Turbine Blade. NREL Subcontract Report No.: NREL/SR-500-28719", National Renewable Energy Laboratory, 1617 Cole Boulevard, Golden, Colorado 80401-3393, US, (2002).
8. Fan, W., and Qiao, P., "A 2-D Continuous Wavelet Transform of Mode Shape Data for Damage Detection of Plate Structures", *solids and structures*, Vol. 46, pp. 1-17, (2009).
9. Antoine, J. P., Murenzi, R., Vandergheynst, P., and et al., "Two-Dimensional Wavelets and Their Relatives, Cambridge University Press, (2004).
10. Doliński, L. and Krawczuk, M., "Damage Detection in Turbine Wind Blades by Vibration Based Methods", *Journal of Physics: Conference Series*. Vol. 181, No. 1, pp. 1-8, (2009).

11. Kenna, A., and Basu, B., "Damage Detection in Wind Turbine Towers Using a Finite Element Model and Discrete Wavelet Transform of Strain Signals", *Journal of Physics: Conference Series* 628, Vol. 628, No. 1, pp. 1-8, (2015).
12. Huang, C. S., Hung, S. L., Lin, C. I., and et al., "A Wavelet-based Approach to Identifying Structural Modal Parameters from Seismic Response and Free Vibration Data", *Computer-Aided Civil and Infrastructure Engineering*, Vol. 20, pp. 408-423, (2005).
13. He, W. Y., Zhu, S., and Chen, Z. W., "Wavelet-based Multi-scale Finite Element Modeling and Modal Identification for Structural Damage Detection", *Advances in Structural Engineering*, Vol. 20, No. 8, pp. 1185-1195, (2017).
14. Zaijier, M., "Foundation Models for the Dynamic Response of Offshore Wind Turbines", Proceedings of MAREC., (2002).
15. Camp, T., Morris, M., Van Rooij, R., Van Der Tempel, J., Zaijier, M., Henderson, A., and et al., "Design Methods for Offshore Wind Turbines at Exposed Sites. Final Report of the OWTES Project", Garrad Hassan and Partners Ltd, Bristol, UK, (2003).
16. Zaijier, M., "Foundation Modelling to Assess Dynamic Behaviour of Offshore Wind Turbines", *Appl Ocean Res*, Vol. 28, No. 1, pp. 45-57, (2006).
17. Murtagh, P., Basu, B., and Broderick, B., "Along-wind Response of a Wind Turbine Tower with Blade Coupling Subjected to Rotationally Sampled Wind Loading", *Eng Struct*, Vol. 27, No. 8, pp. 1209-1219, (2005).
18. Bush, E., Manuel, L., "Foundation Models for Offshore Wind Turbines", In: ASME wind energy symposium, AIAA., (2009).
19. Adhikari, S., and Bhattacharya, S., "Dynamic Analysis of Wind Turbine Towers on Flexible Foundations", *Shock Vib*, Vol. 19, No. 1, pp. 37-56, (2012).
20. Fitzgerald, B., and Basu, B., "Structural Control of Wind Turbines with Soil Structure Interaction Included", *Engineering Structures*, Vol. 111, pp. 131-151, (2016).
21. Speckman, H., and Henrich, R., "Structural Health Monitoring (SHM) - Overview on Technologies under Development", *Proceedings of the 16th World Conference on NDT*, Vol. 1, Montreal-Canada, (2004).
22. MATLAB R2016b x64, The MathWorks, Inc., Natick, Massachusetts, US, (2016).
23. Abaqus/CAE 6.14-2 x64, The Dassault Systèmes®, (2014).
24. Jonkman, J., Butterfield, S., Musial, W., and Scott, G., "Definition of a 5-MW Reference Wind Turbine for Offshore System Development, Technical Report No. NREL/TP-500- 38060", National Renewable Energy Laboratory, Golden, (2009).
25. Kramer, S. L., "Geotechnical Earthquake Engineering", Prentice Hall, Upper Saddle River, US, (1996).

